

Pholcus nouveaux d'Iran (Araneae: Pholcidae)

par

Antoine SENGLLET

Avec 40 figures

Au cours d'un voyage en Iran fait durant l'été 1973, avec l'aide d'un subside du Fonds national suisse de la recherche scientifique, j'ai récolté cinq espèces de *Pholcus*, dont quatre inédites.

Pholcus alticeps Spassky et les espèces décrites ici, *hyrcanus*, *persicus*, *medicus* et *armeniacus*, forment un groupe assez homogène. Elles s'approchent de *Ph. phalangioides* (Fuesslin) par la grandeur moyenne et la forme de l'apophyse postérieure du bulbe, mais en diffèrent nettement, chez le ♂, par l'extrémité du paracymbium, par l'apophyse du trochanter longue et fine, et surtout par l'apophyse antérieure du bulbe, qui est divisée en deux branches parallèles à son extrémité.

Les seuls caractères morphologiques permettant une détermination précise, sont donnés par les genitalias, ce qui implique pour la ♀, une préparation de la vulve. Les figures 35 à 39, montrent la vulve en vue dorsale; les parties colorées des armatures ventrales et dorsales, seules bien visibles, donnent par leur forme et leur combinaison, un excellent moyen de détermination, difficile à mettre en formule, nécessitant des dessins suffisamment détaillés. Un autre caractère utile est donné par la disposition des pores des plaques perforées (PP), organes si caractéristiques des Pholcidae, répartis soit régulièrement, soit par groupes visiblement séparés; ce caractère de séparation est stable et de valeur spécifique. Pour la lisibilité des dessins 35-39, seuls le pourtour des plaques et les groupes sont figurés; pour comparaison voir SENGLLET (1971, 1973a et 1973b). Outre les plaques perforées, la paroi dorsale de chitine transparente de la vulve, porte entre ces plaques et le bord latéral, des plis et invaginations de caractère spécifique, difficiles à observer. Ils sont figurés dans les dessins, mais ne sont pas utilisables en pratique pour la détermination; il faut colorer la chitine pour les faire apparaître nettement. Ils pourraient être en relation avec l'apophyse antérieure du bulbe ♂ lors de la copulation. Chez le ♂, les caractères les plus

importants sont donnés par l'apophyse antérieure du bulbe; dans certains cas, ce sont les seuls utilisables. D'autres caractères très importants se trouvent dans l'armature et l'extrémité du paracymbium, particulièrement bien visibles en vue antérieure.

La connaissance des *Pholcus* de cette région est fragmentaire. Les citations de ROEWER (1955: 752, 1959: 9-10 et 1960: 39) sont très sujettes à caution, *Ph. opilionoides* (Schrank) n'étant en aucune façon troglophile, au moins dans les régions méridionales. Outre *Ph. alticeps*, Spassky a décrit *Ph. crassipalpis* de la côte de la mer Noire; cette espèce paraît proche de *Ph. velitchkovkyi* Kulczynski (1913: 17) et de *opilionoides* par ses dimensions et les apophyses du bulbe. *Pholcus nenjukovi* Spassky (1936: 40-43, fig. 4-6) du Tadjikistan, *Ph. fagei* Spassky (1940: 357-359, fig. 6-8) du Kazakhstan et une citation de *Ph. alticeps* Spassky (DENIS, 1958: 112), d'Afghanistan, représentent ce que nous connaissons à l'est du territoire qui nous occupe. En Turquie, les dessins donnés par BRIGNOLI (1972: 164, fig. 3-8) pour un *Pholcus* « prope *nenjukovi* », montre bien qu'il s'agit d'une espèce distincte de celles décrites ici. *Ph. ponticus* Thorell (1875: 70-71) d'Odessa, semble faire partie du même groupe que les espèces d'Iran, quoiqu'il soit difficile de se faire une idée précise des éléments-clefs dans la description originale, où dans des notes éparses (KULCZYNSKI 1913: 20; SPASSKY 1940: 359).

***Pholcus alticeps* Spassky (1932: 972-975) (fig. 9-14 et 35)**

Prov. Guilān: sur Asālem, (37° 41' N, 48° 51' E), 30.6.1973, 8 ♂, 7 ♀; Shahr-Bidjār, (37° 00' N, 49° 34' E), 6.9.1973, 7 ♂, 8 ♀; Māsūleh, (37° 09' N, 48° 59' E), alt. 1800 m., 9.9.1973, 10 ♂, 11 ♀. Prov. Māzanderān: sur Amol, (36° 18' N, 52° 21' E), 18.7.1973, 7 ♂, 6 ♀; Galūgāh/Behshahr, (36° 42' N, 53° 38' E), 19.7.1973 1 ♂.

L'excellente description accompagnée de dessins, permet d'être certain de la détermination de ce matériel. Les conditions climatiques semblent être proches, entre les bords de la Caspienne et de la mer Noire topotypique. Tout le présent matériel fut récolté en région boisée, vivant sous des roches et dans des creux d'arbres; près du niveau de la mer, mais aussi à 1800 m. d'altitude. Je n'ai pas prospecté d'habitations.

Pour le ♂, je donne les dessins détaillés du palpe (fig. 9-14). On remarquera dans l'armature du paracymbium, l'absence d'une dent postérieure externe (par ex., fig. 4), se trouvant chez les quatre espèces suivantes. Pour la ♀, il faut noter le tubercule médian antérieur de l'épigyne, qui est droit. La vulve (fig. 35) est très caractéristique par la partie centrale de l'armature dorsale étroite, et par les lobes latéraux (LL) de l'armature ventrale plus près du centre que du bord latéral de la vulve. Les pores des plaques perforées (PP) sont assemblés en groupes (pores non figurés).

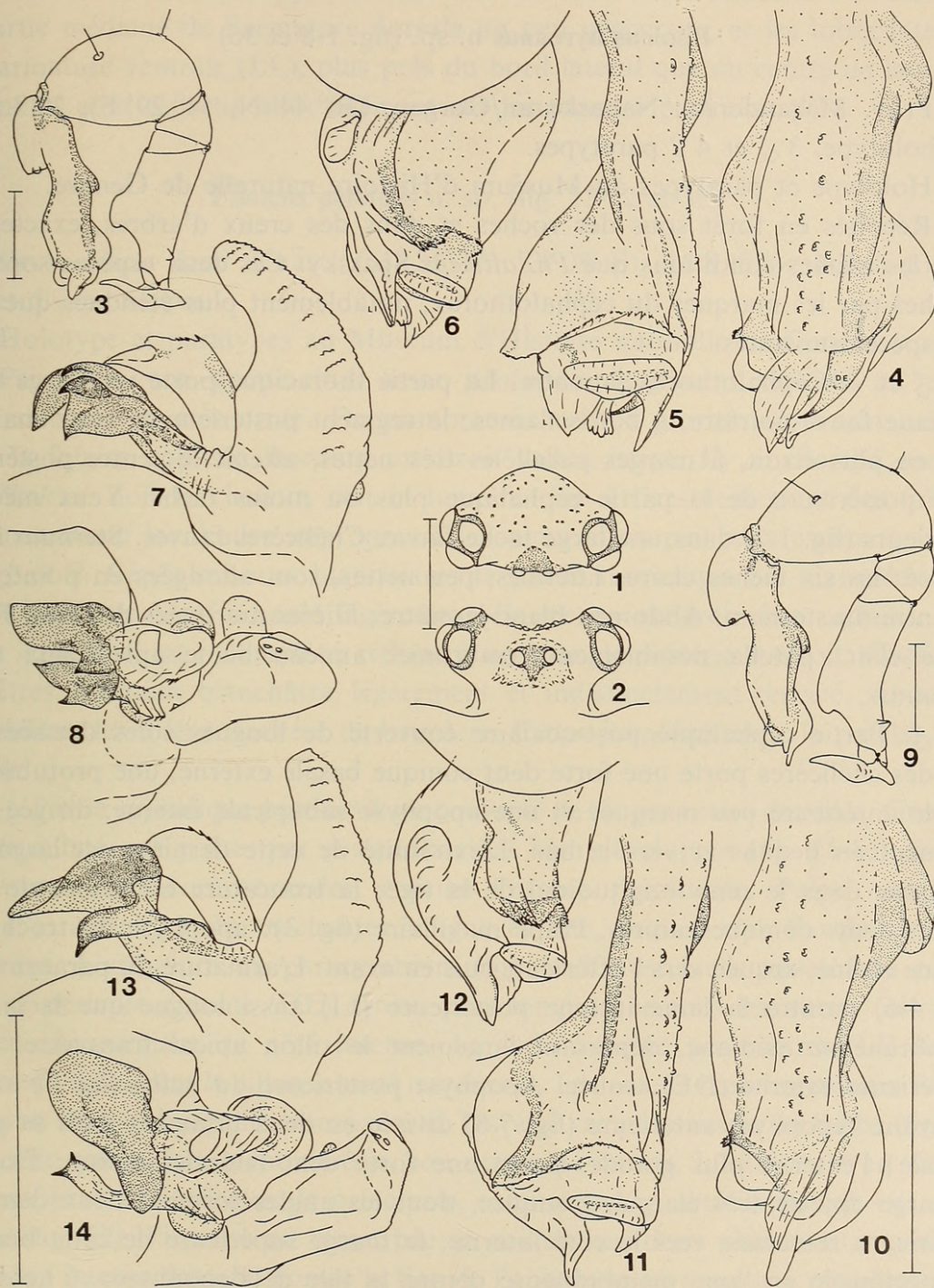


FIG. 1-14.

FIG. 1-8. *Pholcus hyrcanus* n. sp., ♂. — 1. Groupe oculaire, vue dorsale. — 2. Id., vue antérieure. — 3. Palpe maxillaire gauche, vue externe. — 4. Paracymbium gauche: extrémité, vue externe. — 5. Id., vue antérieure. — 6. Id., vue interne. — 7. Apophyses du bulbe gauche, vue interne. — 8. Id., vue antérieure. — FIG. 9-14. *Pholcus alticeps* Spassky, ♂. — 9. Palpe maxillaire gauche, vue externe. — 10. Paracymbium gauche: extrémité, vue externe. — 11. Id., vue antérieure. — 12. Id., vue interne. — 13. Apophyses du bulbe gauche, vue interne. — 14. Id., vue antérieure. — Témoins d'échelle = 0,5 mm.

Pholcus hyrcanus n. sp. (fig. 1-8 et 36)

Prov. Māzanderān: Naharkorān/Gorgān, (36° 44' N, 54° 29' E), 20.7.1973, 1 ♂ holotype, 3 ♂ et 4 ♀ paratypes.

Holotype et paratypes au Muséum d'Histoire naturelle de Genève.

Récoltés en forêt sous des roches et dans des creux d'arbres, exactement dans les mêmes conditions que *Ph. alticeps* Spassky. Ces deux espèces sont très proches par les marques du céphalothorax, notablement plus étendues que chez les espèces suivantes.

♂ et ♀. Céphalothorax jaunâtre. La partie thoracique porte une large tache médiane fauve-noirâtre, à bords flamés; le segment postérieur de cette marque, un peu plus étroit, à marges parallèles très nettes, atteint le centre postérieur. Base postérieure de la partie céphalique plus ou moins taché. Yeux médians antérieurs (fig. 1-2) dans une large tache fauve. Chélicères fauves. Sternum fauve testacé; les six taches claires latérales, peu nettes, sont allongées en pointe vers le centre du sternum. Abdomen blanc-jaunâtre; filières marquées de brun. Pattes fauve clair; patella notablement rembrunie; anneau blanc apical aux tibias et fémurs.

♂. Partie céphalique post-oculaire couverte de longues soies dressées. La tige des chélicères porte une forte dent conique basale externe, une protubérance basale antérieure peu marquée et une apophyse subapicale interne, dirigée obliquement en dedans et vers le bas. L'extrémité de cette dernière est largement tronquée dans le sens longitudinal de la tige; la troncature est armée de trois petites dents coniques noires. Palpe maxillaire (fig. 3): apophyse du trochanter longue et fine, arquée vers l'extérieur, puis en avant. L'armature du paracymbium (fig. 4-6) montre la lame interne postérieure (LI) aussi longue que la lamelle membraneuse médiane, dépassant largement le sillon apical transverse. Dent postérieure externe (DE) arquée. Apophyse postérieure du bulbe (fig. 7) arquée en avant. Apophyse antérieure (fig. 7-8) divisée en deux branches dans sa partie apicale; l'externe plus grande, porte une forte dent latérale interne; l'interne à marge apicale très élargie, tronquée, dont les angles forment deux dents, la supérieure retournée vers le côté interne; la marge supérieure de cette branche est prolongée en lame membraneuse contre la tige de l'apophyse. ♂ holotype, céphalothorax: long., 1,5 mm. clypeus exclu; larg., 1,75 mm.

♀. L'épigyne, triangulaire, est 2,8 × plus large que longue; son tubercule médian antérieur est recourbé à 45°. La marge postérieure est marquée de taches latérales brun-rouge, du sixième latéral où elles sont larges, pour se rétrécir vers le centre qu'elles n'atteignent pas; la pigmentation est complétée par une bande médiane fauve. En avant de l'épigyne, on voit une plage convexe un peu brunâtre, qui laisse plus ou moins transparaître l'armature de la vulve. Seul

l'examen de celle-ci (fig. 36) permet une détermination tout à fait sûre. On remarque la partie médiane de l'armature dorsale un peu procurvée, et les lobes latéraux de l'armature ventrale (LL), plus près du bord latéral que du centre de la vulve. Les pores sont répartis uniformément sur les plaques perforées (PP).

***Pholcus persicus* n. sp. (fig. 15-22 et 38)**

Prov. Fārs: Izad Khāst, (31° 31' N, 52° 09' E), 16.8.1973, 1 ♂ holotype, 1 ♂ et 5 ♀ paratypes.

Holotype et paratypes au Muséum d'Histoire naturelle de Genève.

Pris dans une grotte-abris assez profonde, largement ouverte au nord, dans une région très aride. De nombreuses petites grottes, s'ouvrent au sud dans la falaise opposée, bordant un étroit vallon irrigé. J'y ai cherché en vain ces *Pholcus*. Soit la chaleur, soit la lumière due à l'ensoleillement des falaises sud, paraissent les rendre impropres à la colonisation par cette espèce.

♂ et ♀. Céphalothorax blanchâtre; la partie thoracique est marquée d'une bande médiane longitudinale légèrement élargie en arrière; chez certains individus ♂, celle-ci est incomplète, réduite à un triangle postérieur étroit. Chélicères jaunâtres. Sternum blanchâtre, légèrement et indistinctement testacé. Abdomen blanchâtre, les filières tachées de brunâtre. Pattes jaunâtres avec la patella rembrunie.

♂. Partie céphalique post-oculaire couverte de longues soies dressées. Groupes des yeux latéraux portés par des pédoncules bien développés (fig. 15-16), dirigés en avant. Chélicères normales, comme l'espèce précédente. Palpe maxillaire (fig. 17): apophyse du trochanter longue et fine, arquée vers l'extérieur, puis en avant. L'armature du paracymbium (fig. 18-20) est bien caractérisée par la dent postérieure externe (DE) droite, plus longue que tous les autres éléments, dirigée obliquement du côté interne. La lame interne postérieure (LI) haute, dépassant beaucoup le sillon apical transverse. La lamelle membraneuse médiane se réduit ici à une aiguille transparente. L'apophyse postérieure du bulbe (fig. 21) est droite, progressivement rétrécie, son extrémité étroite. L'antérieure est divisée en deux branches apicales; la principale, externe, est caractéristique en vue antérieure (fig. 22); l'interne est recourbée en cuillère sur deux pointes triangulaires; sa marge interne descend contre la tige de l'apophyse en une lame membraneuse. Holotype ♂, céphalothorax, long., 1,47 mm. clypeus exclu; larg., 1,6 mm.

♀. L'épigyne triangulaire est 3,3 × plus large que longue; son tubercule médian antérieur est dirigé en avant, puis arqué à 45°. Les taches brun-rouge de la marge postérieure sont tout à fait latérales, s'élargissant jusqu'au quart de la marge, où elles s'effacent. La bande longitudinale médiane est très peu marquée. Les parties latérales de l'armature de la vulve, visibles par transparence de part et d'autre de l'épigyne, sont caractéristiques. La vulve (fig. 38) est très

reconnaissable à son armature ventrale, dont la partie médiane est fortement procurvée, brusquement repliée de chaque côté, en deux segments parallèles. La répartition des pores est uniforme sur les plaques perforées (PP).

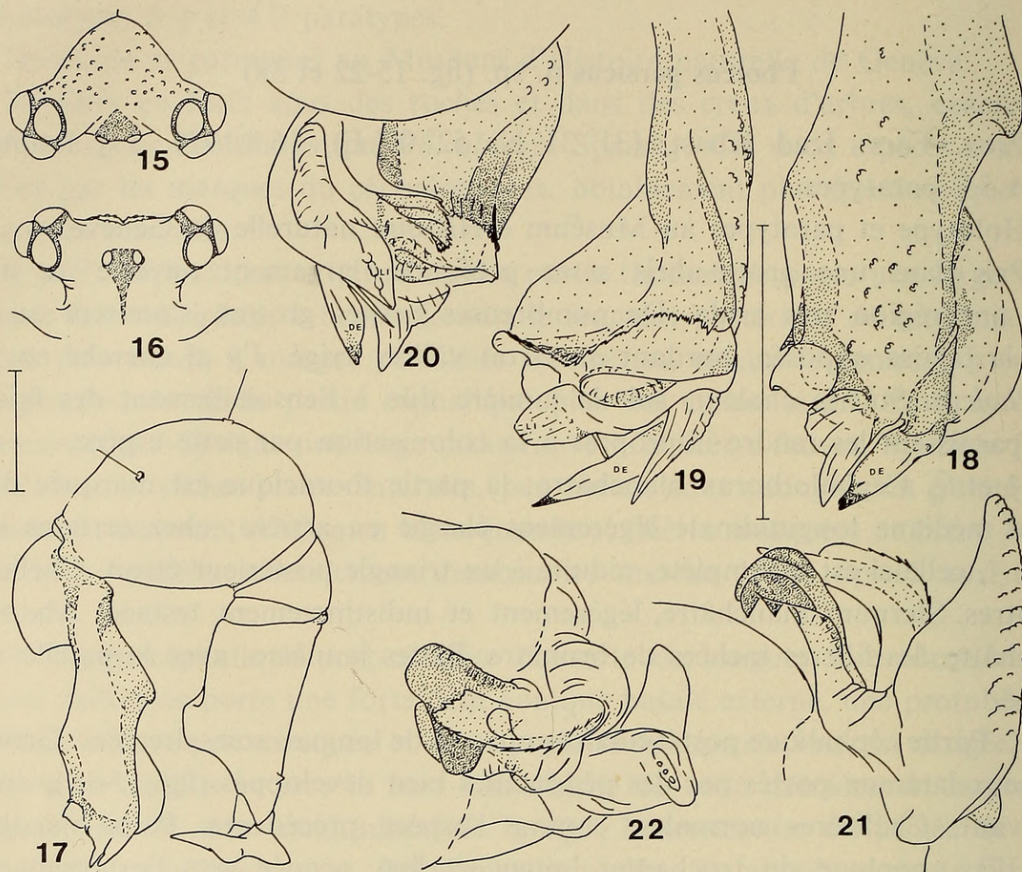


FIG. 15-22.

Pholcus persicus n. sp., ♂. — 15. Groupe oculaire, vue dorsale. — 16. Id., vue antérieure. — 17. Palpe maxillaire gauche, vue externe. — 18. Paracymbium gauche: extrémité, vue externe. — 19. Id., vue antérieure. — 20. Id., vue interne. — 21. Apophyses du bulbe gauche, vue interne. — 22. Id., vue antérieure. — Témoins d'échelle = 0,5 mm.

***Pholcus medicus* n. sp. (fig. 23-28, 39-40)**

Prov. Guilān: Soltaniéh, (36° 27' N, 48° 48' E), 14.9.1973, 1 ♂ holotype, 1 ♀ paratype, 2 ♂ paratypes; Karasf, (36° 06' N, 48° 30' E), 14.9.1973, 1 ♀ paratype. Prov. Tehrān: 50 km. au sud de Delidjān, (33° 35' N, 51° 01' E), 24.8.1973, 1 ♀ paratype.

Holotype et paratypes au Muséum d'Histoire naturelle de Genève.

♂ et ♀. Céphalothorax blanchâtre; partie thoracique marquée d'une bande médiane ayant les côtés parallèles dans sa moitié postérieure, rayonnante dans sa partie antérieure; elle débordé légèrement sur la partie céphalique. Chélicères

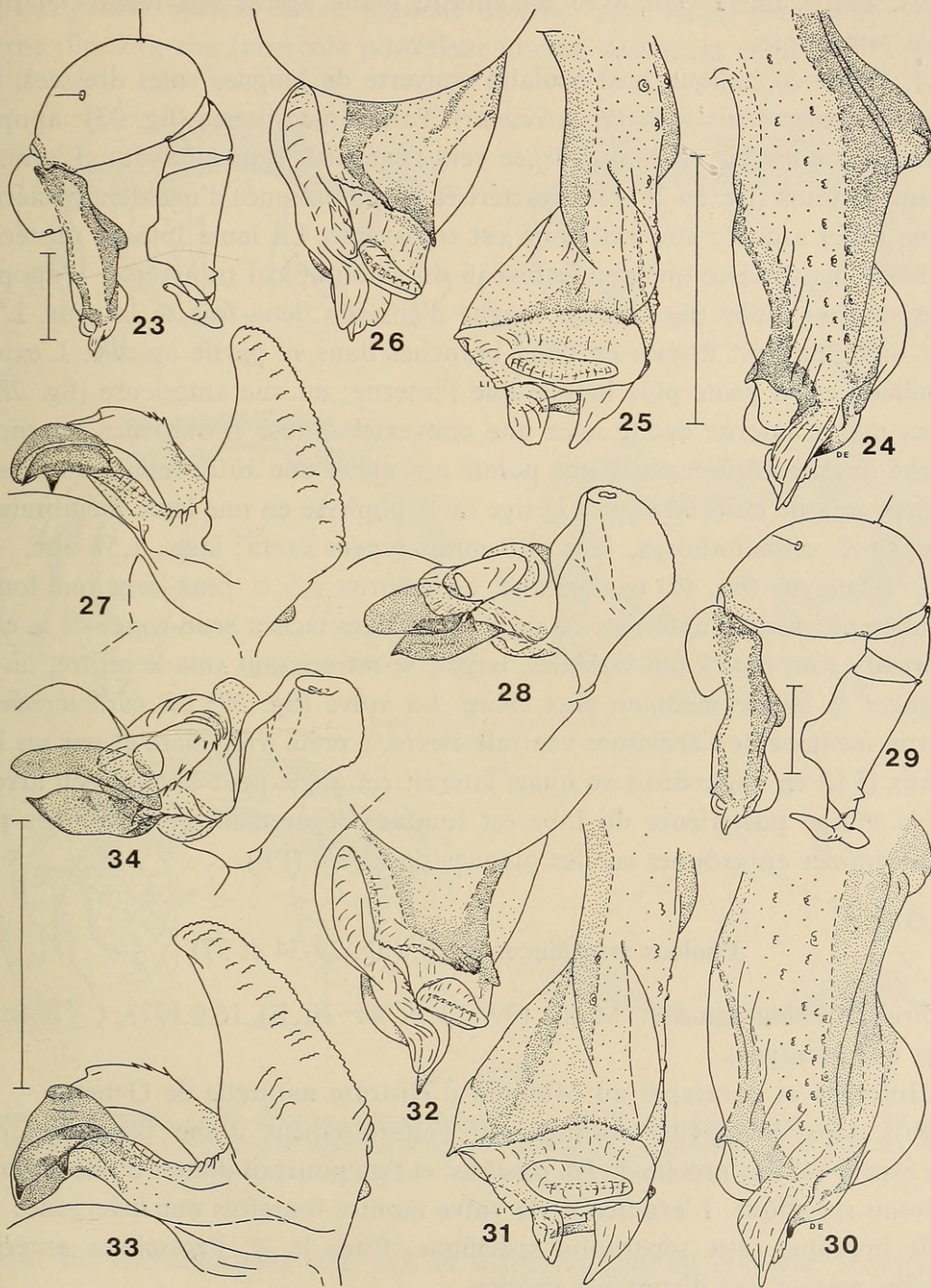


FIG. 23-34.

FIG. 23-28. *Pholcus medicus* n. sp., ♂. — 23. Palpe maxillaire gauche, vue externe. — 24. Paracymbium gauche: extrémité, vue externe. — 25. Id., vue antérieure. — 26. Id., vue interne. — 27. Apophyses du bulbe gauche, vue interne. — 28. Id., vue antérieure. — FIG. 29-34. *Pholcus armeniacus* n. sp., ♂. — 29. Palpe maxillaire gauche, vue externe. — 30. Paracymbium gauche: extrémité, vue externe. — 31. Id., vue antérieure. — 32. Id., vue interne. — 33. Apophyses du bulbe gauche, vue interne. — 34. Id., vue antérieure. — Témoins d'échelle = 0,5 mm.

fauve clair. Sternum blanchâtre faiblement testacé. Abdomen blanchâtre; filières tachées. Pattes fauve clair avec un anneau blanc apical aux fémurs et tibia; patella rembrunie.

♂. Partie céphalique post-oculaire couverte de longues soies dressées. Chélicères normales (voir sous *Ph. hyrcanus*). Palpes maxillaires (fig. 23): apophyse du trochanter longue et fine, courbée vers l'extérieur puis en avant. L'armature du paracymbium (fig. 24-26) est caractérisée par la présence d'une dent postérieure externe (DE) arquée; son extrémité est transverse. La lame interne postérieure (LI) basse, ne dépasse que peu le niveau du sillon apical transverse. L'apophyse postérieure du bulbe (fig. 27) est longue d'environ deux fois sa largeur. L'apophyse antérieure est divisée en deux branches dans sa partie apicale. L'externe, en cuillère, est à peine plus longue que l'interne; en vue antérieure (fig. 28) on voit sa marge interne droite avec une convexité obtuse postérieure interne. La branche interne arquée, porte une pointe apicale et une autre repliée en dessous; sa marge interne descend contre la tige de l'apophyse en une lame membraneuse. Holotype ♂, céphalothorax, long. 1,3 mm. clypeus exclu; larg., 1,57 mm.

♀. L'épigyne (fig. 40) triangulaire, est environ 2,5 × plus large que longue; son tubercule médian antérieur est replié à 45°. Les taches brun-rouge de la marge postérieure sont tout à fait latérales, larges, se rétrécissant vers le centre, où elles rejoignent la bande médiane plus claire. La vulve (fig. 39) est caractérisée par la partie médiane de l'armature ventrale élevée, à crête irrégulière et par ses lobes latéraux (LL) en angle droit au quart latéral; cet angle peut être un peu arrondi, mais la marge postérieure du lobe est toujours légèrement concave. Les pores sont assemblés en groupes sur les plaques perforées (PP).

Pholcus armeniacus n. sp. (fig. 29-34 et 37)

Prov. Azerbaïdjan occ.: Mākū, (39° 12' N, 44° 30' E), 16.9.1973, 1 ♂ holotype, 3 ♂ et 6 ♀ paratypes.

Holotype et paratypes au Muséum d'Histoire naturelle de Genève.

Pris dans des cavités formées par l'effondrement d'une paroi de roche. Cette espèce est très proche de *Ph. medicus*, et l'on pourrait douter d'une différence de niveau spécifique. L'examen de la vulve montre toutefois une divergence telle, qu'elle implique cette séparation spécifique. Chez le ♂, l'apophyse antérieure du bulbe permet une distinction précise.

♂ et ♀. Céphalothorax blanchâtre; partie thoracique marquée d'une tache médiane tronquée à la marge postérieure, un peu élargie au tiers postérieur, puis atténuée en pointe au quart antérieur. Base postérieure de la partie céphalique taché.

♂. Palpe maxillaire (fig. 29) et extrémité du paracymbium (fig. 24-26) très proches de *Ph. medicus*. L'apophyse postérieure du bulbe (fig. 33) est légèrement

plus allongée ($2,5 \times$ la largeur). L'apophyse antérieure en diffère nettement par l'extrémité apicale de sa branche externe, plus large, triangulaire en vue interne (fig. 33), son tubercule postérieur interne dépassant en arrière la branche

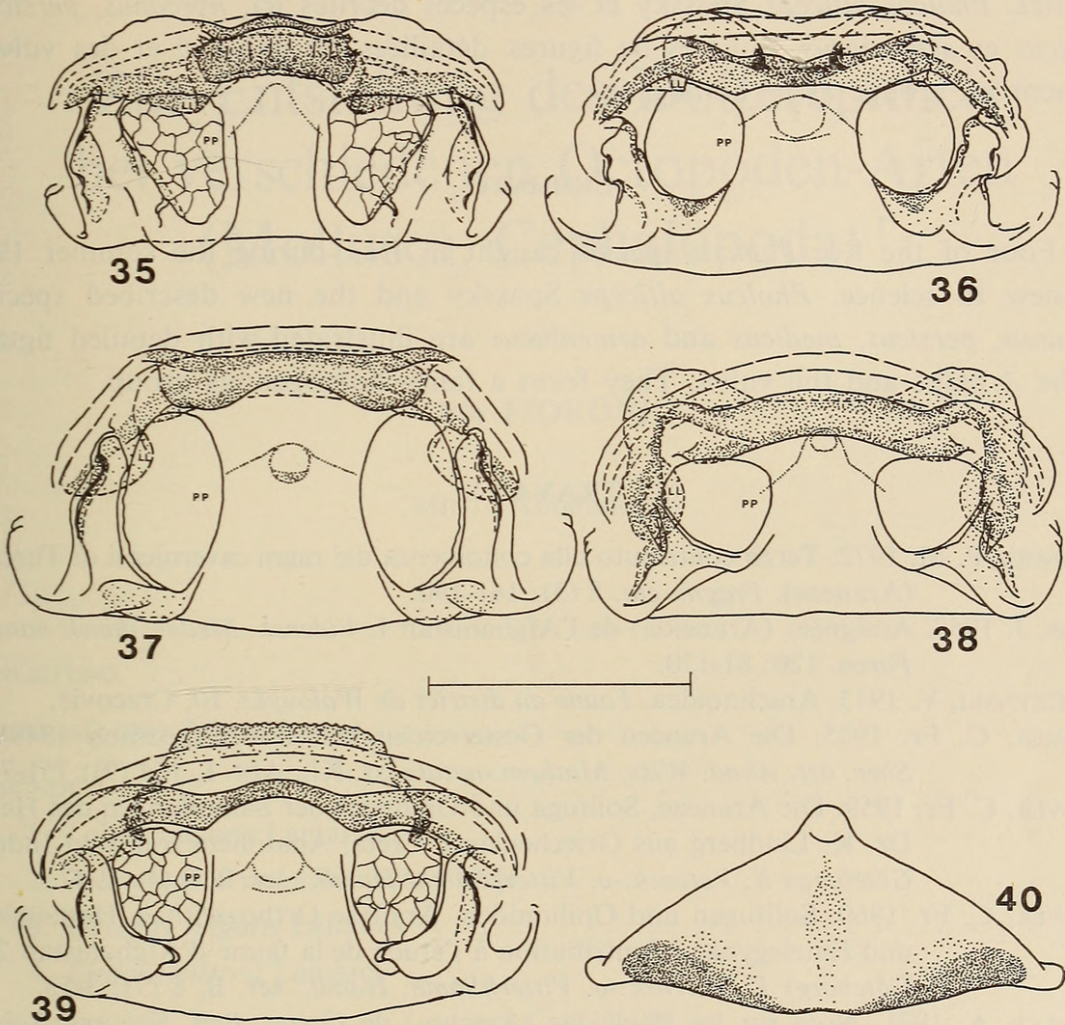


FIG. 35-40.

♀, vulve, vue dorsale. — 35. *Pholcus alticeps* Spassky. — 36. *Pholcus hyrcanus* n. sp. — 37. *Pholcus armeniacus* n. sp. — 38. *Pholcus persicus* n. sp. — 39. *Pholcus medicus* n. sp. — Fig. 40. *Pholcus medicus* n. sp., épigyne. — Témoin d'échelle = 0,5 mm.

interne. En vue antérieure (fig. 34), sa marge interne est concave. Holotype ♂, céphalothorax: long., 1,4 mm. clypeus exclu; larg., 1,75 mm.

♀. Epigyne comme *Ph. medicus* (fig. 40). La vulve (fig. 37) est caractérisée par les lobes latéraux (LL) de l'armature ventrale largement arrondis; la marge postérieure du lobe, assez courte, est très convexe. La répartition des pores est régulière sur les plaques perforées (PP).

RÉSUMÉ

Des cinq espèces de *Pholcus* récoltées en Iran durant l'été 1973, quatre sont inédites. *Pholcus alticeps* Spassky et les espèces décrites ici, *hyrcanus*, *persicus*, *medicus* et *armeniacus*, illustrés de figures détaillées du palpe ♂ et des vulves, forment un groupe assez homogène.

SUMMARY

Four of the five *Pholcus* species caught in Iran during the summer 1973 are new to science. *Pholcus alticeps* Spassky and the new described species, *hyrcanus*, *persicus*, *medicus* and *armeniacus* are illustrated with detailed figures of the ♂ palps and the vulva. They form a fairly homogenous group.

TRAVAUX

- BRIGNOLI, P. M. 1972. Terzo contributo alla conoscenza dei ragni cavernicoli di Turchia (Araneae). *Fragm. ent.* 8 (3): 161-190.
- DENIS, J. 1958. Araignées (Araneida) de l'Afghanistan I. *Vidensk. Meddr. dansk naturh. Foren.* 120: 81-120.
- KULCZYNSKI, V. 1913. Arachnoidea. *Faune du district de Walouyki*, 10, Cracovie.
- ROEWER, C. Fr. 1955. Die Araneen der Oesterreichischen Iran-Expedition 1949/50. *Sber. öst. Akad. Wiss. Mathem.-naturwiss. Kl., Abt. 1*, 164 (9): 751-782.
- ROEWER, C. Fr. 1959. Die Araneae, Solifuga und Opiliones der Sammlungen des Herrn Dr. K. Lindberg aus Griechenland, Creta, Anatolien, Iran und Indien. *Göteborgs K. Vetensk.-o. VitterhSamh. Handl.*, ser. B, 8 (4): 2-47.
- ROEWER, C. Fr. 1960. Solifugen und Opilioniden. Araneae Orthognathae, Haplogynae und Entelegynae (Contribution à l'étude de la faune d'Afghanistan 23). *Göteborgs K. Vetensk.-o. VitterhSamh. Handl.*, ser. B, 8 (7): 3-53.
- SENGLET, A. 1971. Note sur les Pholcidae (Arachn.) de Grèce. *Bull. Soc. ent. Suisse*, 44 (3-4): 345-359, fig. 1-54.
- SENGLET, A. 1973a. Note sur les Spermophora (Araneae: Pholcidae) méditerranéens. *Bull. Soc. ent. Suisse* 45 (4), 1972 (1973): 307-319, fig. 1-50.
- SENGLET, A. 1973b. Note sur *Spermophora elevata* Simon et description d'une nouvelle espèce: *Spermophora simoni* (Araneae: Pholcidae). *Bull. Mus. natn. Hist. nat., Paris* (3) 125 Zool. 97: 683-686, fig. 1-8.
- SPASSKY, S. 1932. Araneorum species novae II. *Bull. Mus. natn. Hist. nat., Paris.* (2) 4: 972-979.
- SPASSKY, S. 1936. Araneae palearcticae novae. *Festschr. Embr. Strand*, 1: 37-46.
- SPASSKY, S. 1940. Araneae palearcticae novae. V. *Folia zool. hydrobiol.* 10: 353-364.

Adresse de l'auteur :

c/o Muséum d'Histoire naturelle
case postale 284
CH-1211 Genève 6
Suisse



BHL

Biodiversity Heritage Library

Senglet, A. 1974. "Pholcus nouveaux d'Iran (Araneae: Pholcidae)." *Revue suisse de zoologie* 81, 803–812. <https://doi.org/10.5962/bhl.part.76044>.

View This Item Online: <https://www.biodiversitylibrary.org/item/126812>

DOI: <https://doi.org/10.5962/bhl.part.76044>

Permalink: <https://www.biodiversitylibrary.org/partpdf/76044>

Holding Institution

Smithsonian Libraries and Archives

Sponsored by

Biodiversity Heritage Library

Copyright & Reuse

Copyright Status: In Copyright. Digitized with the permission of the rights holder.

Rights Holder: Muséum d'histoire naturelle - Ville de Genève

License: <http://creativecommons.org/licenses/by-nc-sa/3.0/>

Rights: <https://www.biodiversitylibrary.org/permissions/>

This document was created from content at the **Biodiversity Heritage Library**, the world's largest open access digital library for biodiversity literature and archives. Visit BHL at <https://www.biodiversitylibrary.org>.